

# A ótica dos metais

---

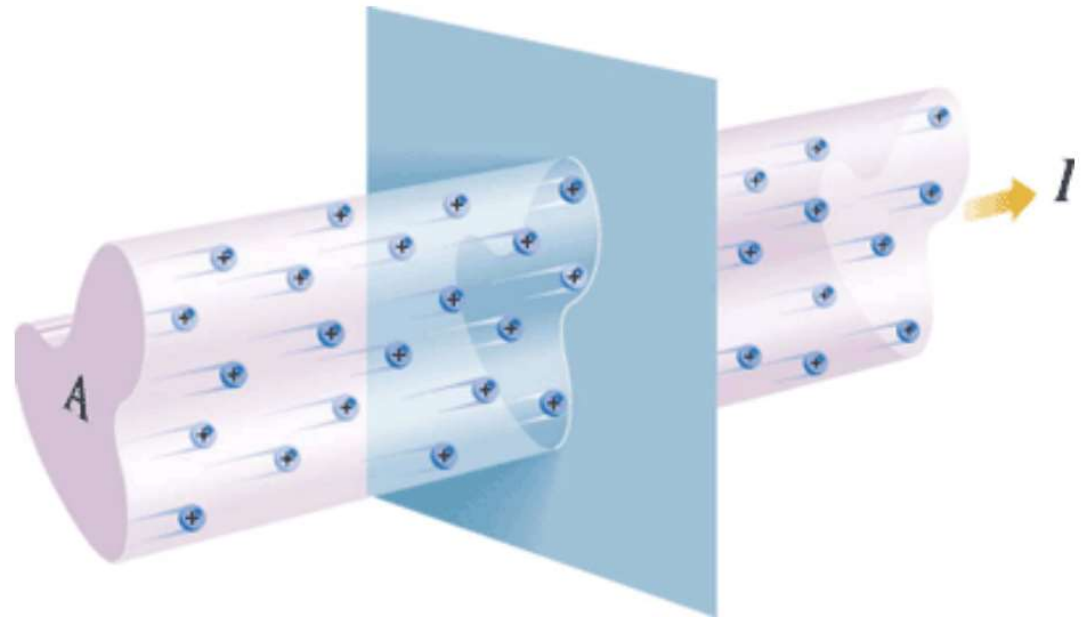
Função dielétrica complexa

Modelo de Drude

Propriedades óticas dos metais

Profundidade da penetração ("skin depth")  
refletividade

Referência Hecht 4.8



# Ondas EM num meio dielétrico

---

$$E(z, t) = E_0(z = 0) e^{-\alpha z/2} \exp[i(nk_0 z - \omega t)]$$

Absorção → atenuação do campo com a distância de propagação

Índice de refração → altera  $k$  e em consequência o comprimento de onda

$$k_0 \rightarrow nk_0 \quad \lambda_0 \rightarrow \frac{\lambda_0}{n}$$

A frequência permanece inalterada

O constante dielétrico do meio é relacionado com o índice de refração:

$$n = \frac{c}{v} = \sqrt{\frac{\epsilon_{meio}}{\epsilon_0}}$$

---

# Índice de refração complexo

---

$$\begin{aligned} E(z, t) &= E_0(z=0) e^{-\alpha z/2} e^{[i(nk_0 z - \omega t)]} \\ &= E_0(z=0) \exp \left[ i \left( i \frac{\alpha}{2k_0} + n \right) k_0 z \right] e^{-i\omega t} \end{aligned}$$



Convenção de sinal não é universal

O índice de refração complexo

$$\begin{aligned} \tilde{n} &= n + i \frac{\alpha}{2k_0} \\ &= n + i \frac{\alpha \lambda_0}{4\pi} \\ &= n + i \frac{\alpha c_0}{2\omega} \end{aligned}$$

$$\tilde{n} = n + i\kappa$$

$$\kappa \geq 0$$

quantidade  
adimensional

Uma maneira conveniente agrupar os efeitos de  $\alpha$  e  $n$  numa única quantidade

---

# Constante dielétrica complexa

---

Se o índice de refração é complexo a constante dielétrica também é complexa

$$n = \sqrt{\frac{\epsilon_{meio}}{\epsilon_0}} \Rightarrow \begin{aligned} \epsilon_{meio} &= \epsilon_0 \tilde{n}^2 \\ &= \epsilon_0 (n + i\kappa)^2 \end{aligned}$$

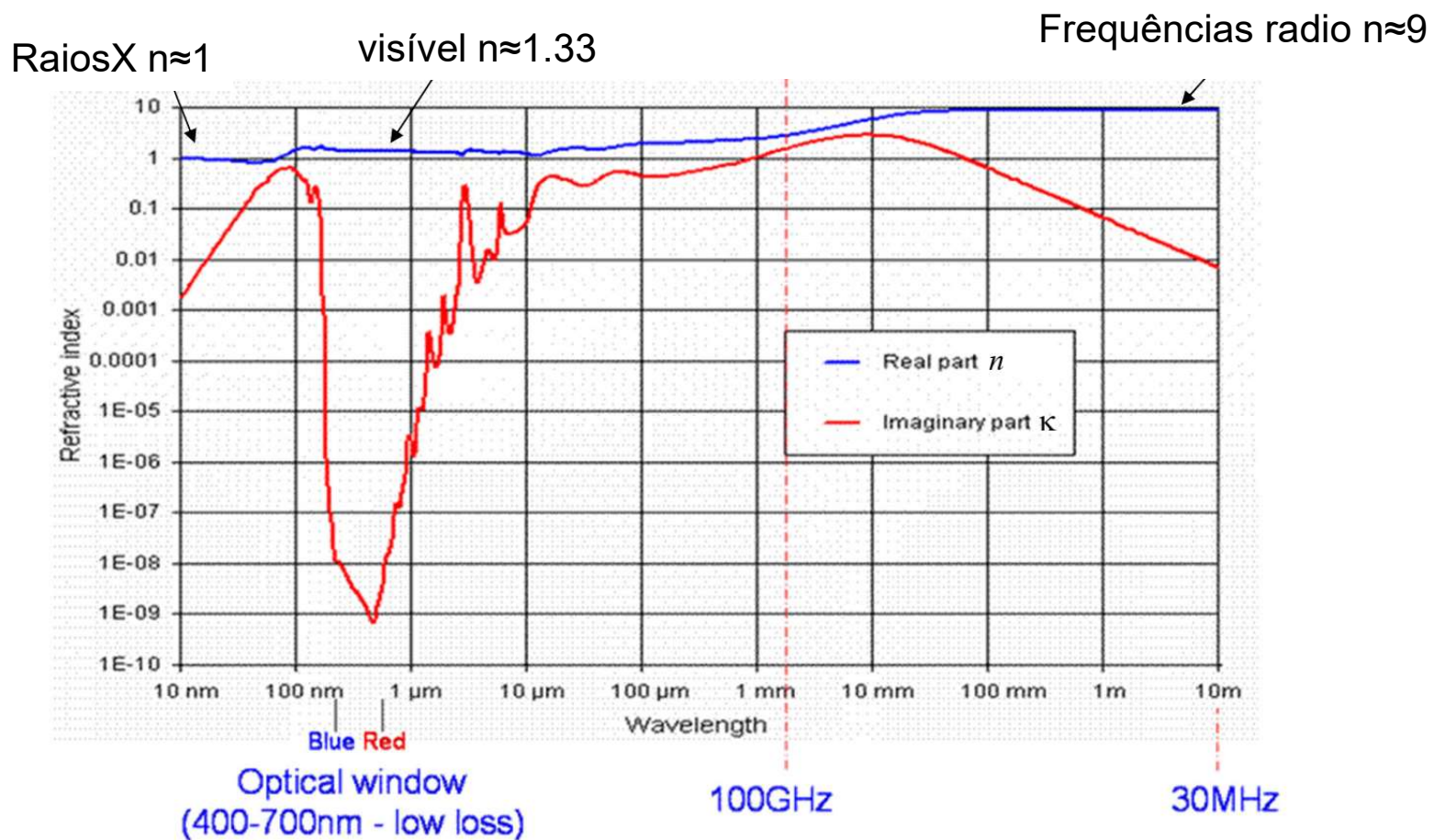
$$\epsilon_R + i\epsilon_I = \epsilon_0 \left[ (n^2 - \kappa^2) + 2in\kappa \right]$$

O que pode ser invertida

$$\begin{aligned} n &= \sqrt{\frac{1}{2\epsilon_0} (|\epsilon| + \epsilon_R)} \\ \kappa &= \sqrt{\frac{1}{2\epsilon_0} (|\epsilon| - \epsilon_R)} \end{aligned}$$

---

# Exemplo: índice de refração complexo de água



# Em metais existe elétrons livres

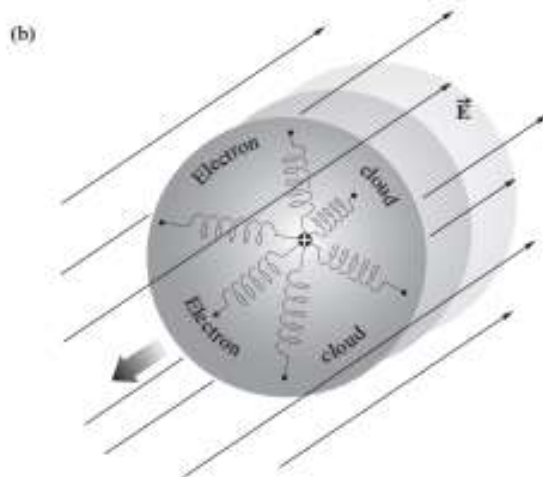


Figure 3.38 (a) Distortion of the electron cloud in response to an applied  $\vec{E}$ -field. (b) The mechanical oscillator model for an isotropic medium—all the springs are the same, and the oscillator can vibrate equally in all directions.

Modelo Lorentz  
Bom para materiais isoladores

Em metais espera que o efeito dominante venha dos elétrons livres.

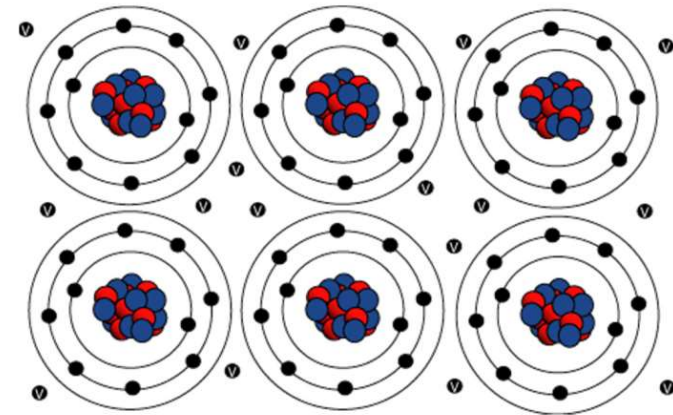


Paul Drude  
(1863 - 1906)

- Rede cristalina dos íons fixos
- Elétrons da banda de condução são livres
- Vez em quando um elétron livre sofre uma colisão e sai numa direção aleatória

O modelo tem um parâmetro livre  
 $\tau$ : tempo médio entre colisões

Valor típico  $\tau \approx 10^{-14}\text{s}$



# Condutividade dos Metais na teoria Drude

Entre cada colisão os elétrons se aceleram em resposta ao campo elétrico  $a = \frac{-eE}{m}$

Suponha logo seguir uma colisão ( $t=0$ ) a velocidade do elétron é  $\vec{v}_0$

Então no tempo  $t$  a velocidade é

$$\vec{v}(t) = \vec{v}_0 - \frac{e\vec{E}}{m}t$$

$$\vec{v}_{med} = -\frac{e\vec{E}}{m}\tau$$

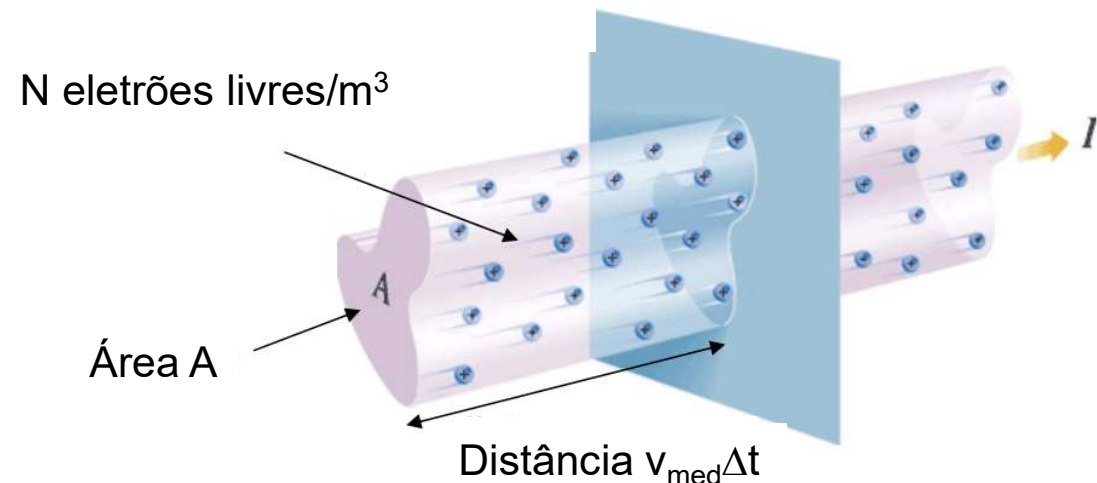
$$I = \frac{-eN(A\vec{v}_{med}\Delta t)}{\Delta t}$$

A densidade da corrente

$$\vec{J} = \frac{I}{A} = \frac{e^2 N \tau}{m} \vec{E}$$

Lei de Ohm com  
uma condutividade

$$\sigma = \frac{e^2 N \tau}{m}$$

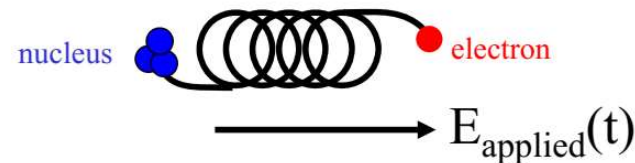


# Equação de Onda

$$\nabla^2 \vec{E} - \mu_0 \epsilon_0 \frac{\partial^2 \vec{E}}{\partial t^2} = \mu_0 \frac{\partial^2 \vec{P}}{\partial t^2}$$

$$P(t) = -eNx(t)$$

No modelo de Lorentz



$$k_{\text{mola}} = m\omega_0^2$$

$$x(t) = \frac{eE_0}{m} \frac{1}{(\omega^2 - \omega_0^2) + 2i\gamma\omega} e^{-i\omega t}$$

No limite em que o elétron é livre  $\omega_0 \rightarrow 0$

$$x(t) \rightarrow \frac{e}{m} \left( \frac{1}{\omega^2 + 2i\gamma\omega} \right) E_0 e^{-i\omega t}$$

$$P(t) \rightarrow \frac{-e^2 N}{m} \left( \frac{1}{\omega^2 + 2i\gamma\omega} \right) E_0 e^{-i\omega t} = \epsilon_0 \underbrace{\left[ \frac{-e^2 N}{\epsilon_0 m} \left( \frac{1}{\omega^2 + 2i\gamma\omega} \right) \right]}_{\chi(\omega)} E_0 e^{-i\omega t}$$

Definir uma frequência de “plasma”

$$\omega_p^2 = \frac{e^2 N}{\epsilon_0 m}$$



# Equação de Onda

---

$$\nabla^2 \vec{E} - \mu_0 \varepsilon_0 \frac{\partial^2 \vec{E}}{\partial t^2} = \mu_0 \frac{\partial^2 \vec{P}}{\partial t^2}$$

$$\vec{P}(t) = -\varepsilon_0 \left( \frac{\omega_p^2}{\omega^2 + 2i\gamma\omega} \right) \vec{E}_0 e^{-i\omega t}$$

$$\nabla^2 \vec{E} - \mu_0 \varepsilon_0 \frac{\partial^2 \vec{E}}{\partial t^2} = -\mu_0 \varepsilon_0 \left( \frac{\omega_p^2}{\omega^2 + 2i\gamma\omega} \right) \frac{\partial^2 \vec{E}}{\partial t^2}$$

$$\nabla^2 \vec{E} - \frac{1}{c^2} \left[ 1 - \left( \frac{\omega_p^2}{\omega^2 + 2i\gamma\omega} \right) \right] \frac{\partial^2 \vec{E}}{\partial t^2} = 0$$

Índice de refração complexo

$$\tilde{n}_{metal}^2 = \varepsilon_{metal}(\omega) = 1 - \left( \frac{\omega_p^2}{\omega^2 + 2i\gamma\omega} \right)$$

---

# Limite de frequências baixas

---

$$\tilde{n}_{metal}^2 = \varepsilon_{metal}(\omega) = 1 - \left( \frac{\omega_p^2}{\omega^2 + 2i\gamma\omega} \right) \quad \text{Valores típicos de} \quad \gamma \sim \frac{1}{\tau} \sim 10^{14} \text{ r / s}$$

Exemplo Cobre @ 100Mhz

$$\omega = 2\pi \times 10^8 \text{ r / s} \ll \gamma \quad \lambda \approx 3\text{m}$$

$$\frac{\omega_p^2}{2\gamma\omega} = \frac{e^2 N}{2\varepsilon_0 \gamma \omega} = \frac{\sigma}{\varepsilon_0 \omega} \approx 10^{10} \quad \tilde{n}_{metal}^2 \approx i \frac{\sigma}{\varepsilon_0 \omega} \quad \tilde{n}_{metal} = n + i\kappa \approx \frac{1+i}{\sqrt{2}} \sqrt{\frac{\sigma}{\varepsilon_0 \omega}} \approx 4.7 \times 10^4 (1+i)$$

Ambas as partes reais e imaginarias são bastante elevadas

$$\begin{aligned} E(z, t) &= E_0 \exp[i(\tilde{n}k_0 z - \omega t)] \\ &= E_0 e^{-\alpha z/2} \exp[i(nk_0 z - \omega t)] \end{aligned}$$

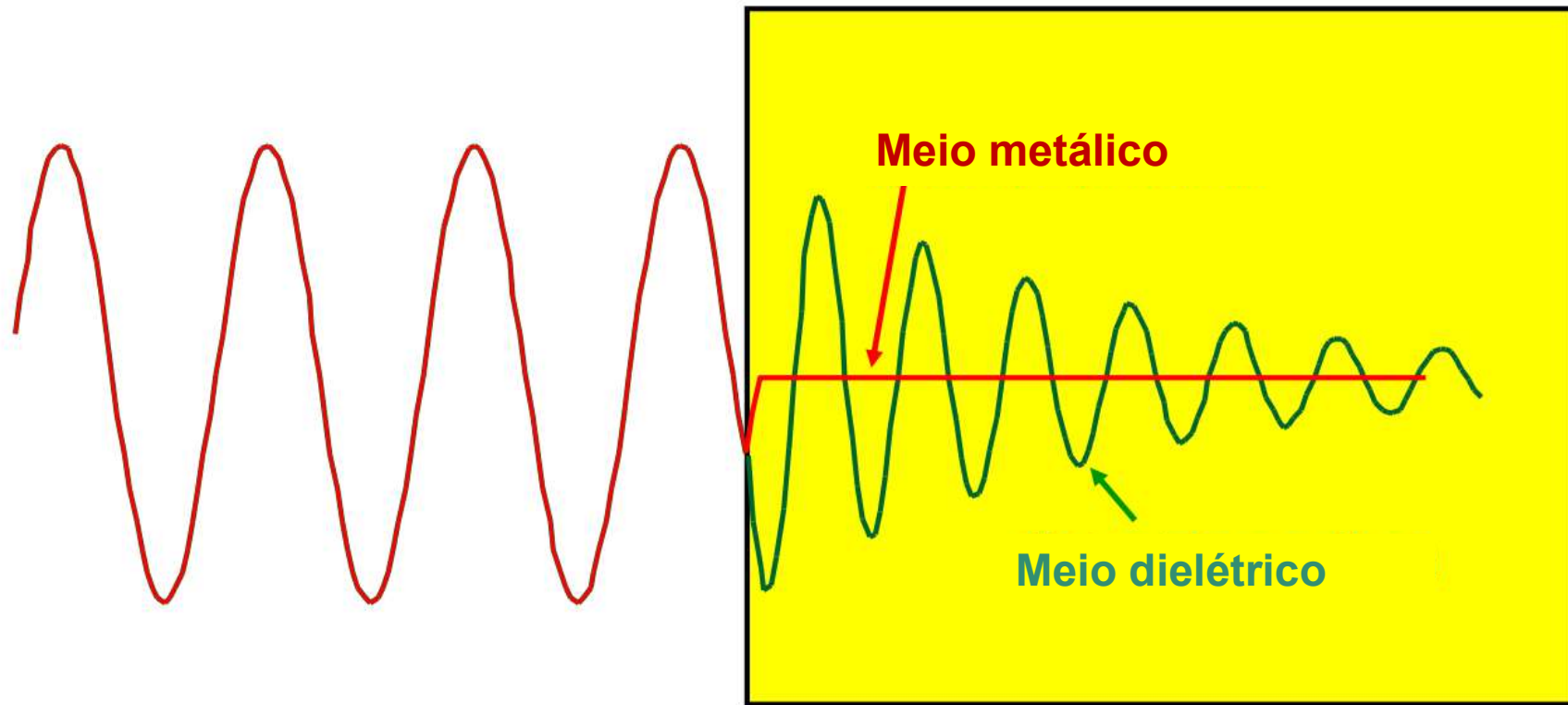
Profundidade de penetração é uma fração de  $\lambda$

$$\frac{1}{\alpha} = \frac{c}{2\omega\kappa} \approx 3.2 \mu\text{m} \approx \frac{\lambda}{900,000}$$

---

# Profundidade de penetração é pequena

---



# Metais são bons refletores

---

Veremos que á incidência normal a refletividade dum meio é dado pela contraste do índice de refração com o ar

$$R = \left( \frac{n-1}{n+1} \right)^2 \approx 1 \quad \text{se } n \gg 1$$

Exemplo Cobre @ 100Mhz

$$n \approx 4.7 \times 10^4 \qquad R \approx 0.9999455$$



# Limite de frequências altas

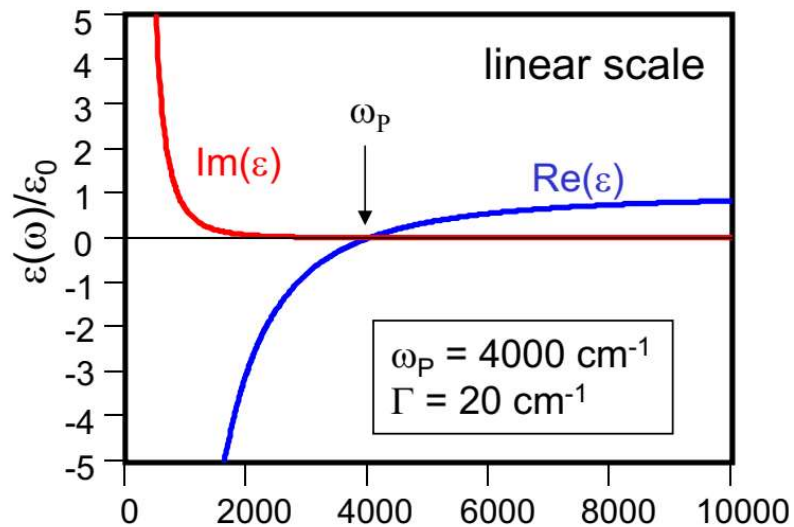
Quando  $\omega \gg \gamma$  (visível e frequências maiores)

$$\omega_p = \sqrt{\frac{e^2 N}{\epsilon_0 m}} \sim 10^{16} - 10^{17} \text{ r / s}$$

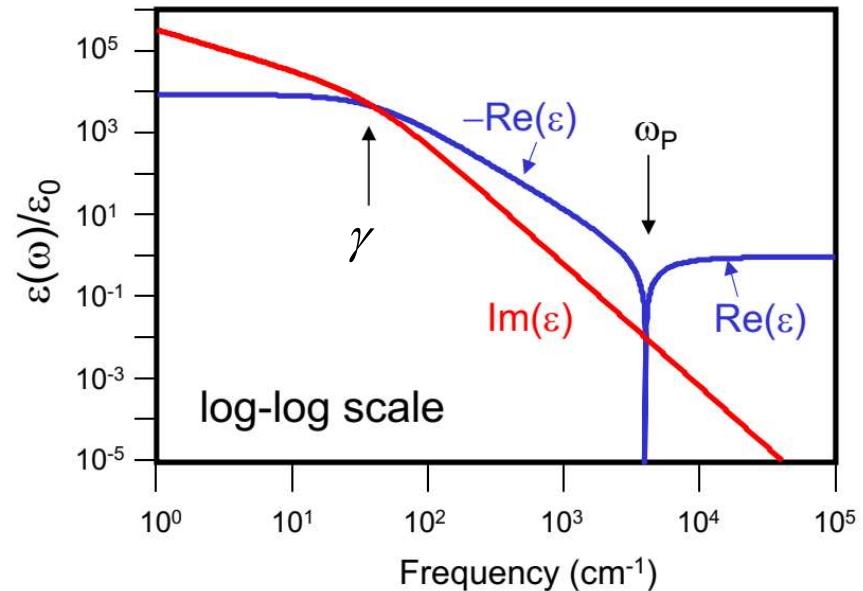
em metais

$$\tilde{n}_{metal}^2 = \epsilon_{metal}(\omega) = 1 - \left( \frac{\omega_p^2}{\omega^2 + 2i\gamma\omega} \right) \approx 1 - \left( \frac{\omega_p}{\omega} \right)^2$$

Puro real



$$1 \text{ cm}^{-1} = 30 \text{ GHz}$$



$\text{Im}(\epsilon) \rightarrow 0$  quando  $\omega \gg \gamma$

$\text{Re}(\epsilon) = 0$

@  $\omega = \omega_p$

$|\text{Re}(\epsilon)| = \text{Im}(\epsilon)$  @  $\omega = \gamma$

# As previsões da teoria Drude são razoáveis para prata

$$\varepsilon_{metal}(\omega) = 1 - \left( \frac{\omega_p^2}{\omega^2 + 2i\gamma\omega} \right)$$

$$\frac{\omega_p}{2\pi} \approx 2200 \text{ THz}$$

$$\lambda_p \approx 138 \text{ nm}$$

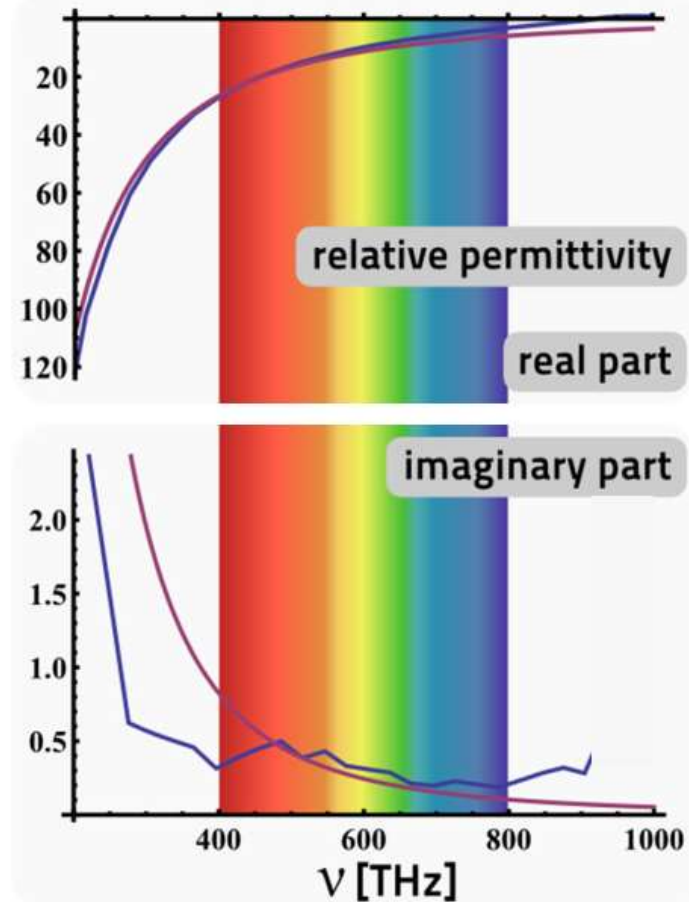
grande e negativa  
para  $\omega \ll \omega_p$

$$\frac{|\text{Re}(\varepsilon)|}{\varepsilon_0}$$

$$\frac{\text{Im}(\varepsilon)}{\varepsilon_0}$$

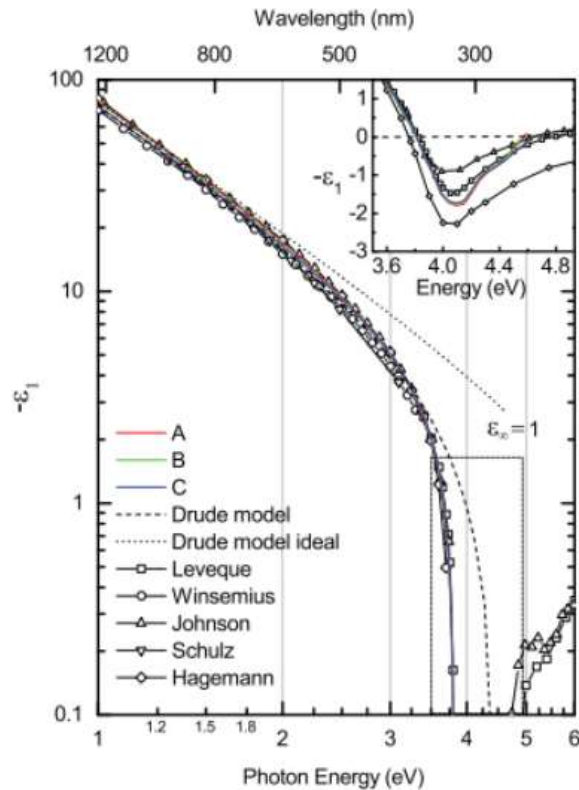
pequena e positiva

Silver Dispersion Relation  
Drude model vs. experimental data

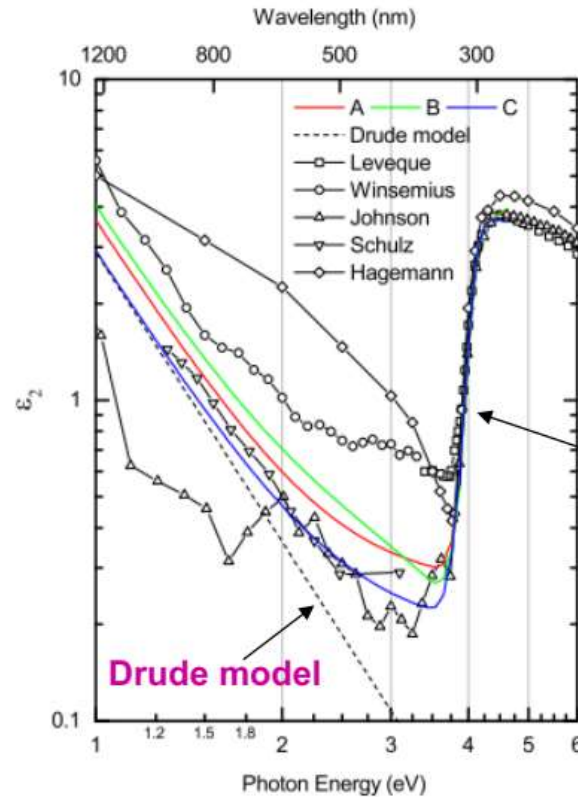


# Mas não perfeito

OPTICAL DIELECTRIC FUNCTION OF SILVER



PHYSICAL REVIEW B **91**, 235137 (2015)



$$\hbar\omega_p \approx 9\text{eV}$$

$$\lambda_p = 138\text{ nm}$$

A estrutura a volta de 4eV é devido a “ionização” dum elétron interior para a banda de valência

# Frequências muito altas

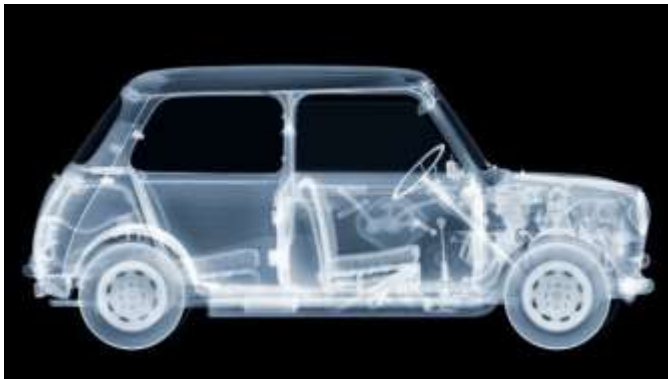
$$\omega \gg \gamma \quad n(\omega) \approx \sqrt{1 - \frac{\omega_p^2}{\omega^2}}$$

$$\omega < \omega_p \quad \tilde{n}(\omega) \rightarrow i\sqrt{\frac{\omega_p^2}{\omega^2} - 1}$$

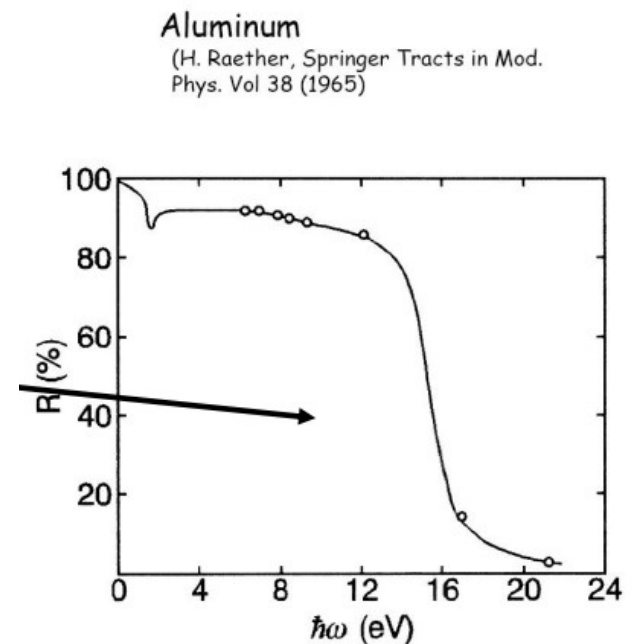
Puro imaginário –  
profundidade de penetração pequena

$$\omega \gg \omega_p \quad n(\omega) \rightarrow 1$$

Os metais ficam transparentes nos raios x



A refletividade  
baixa muito  
para frequência  
além da  
frequência de  
plasma





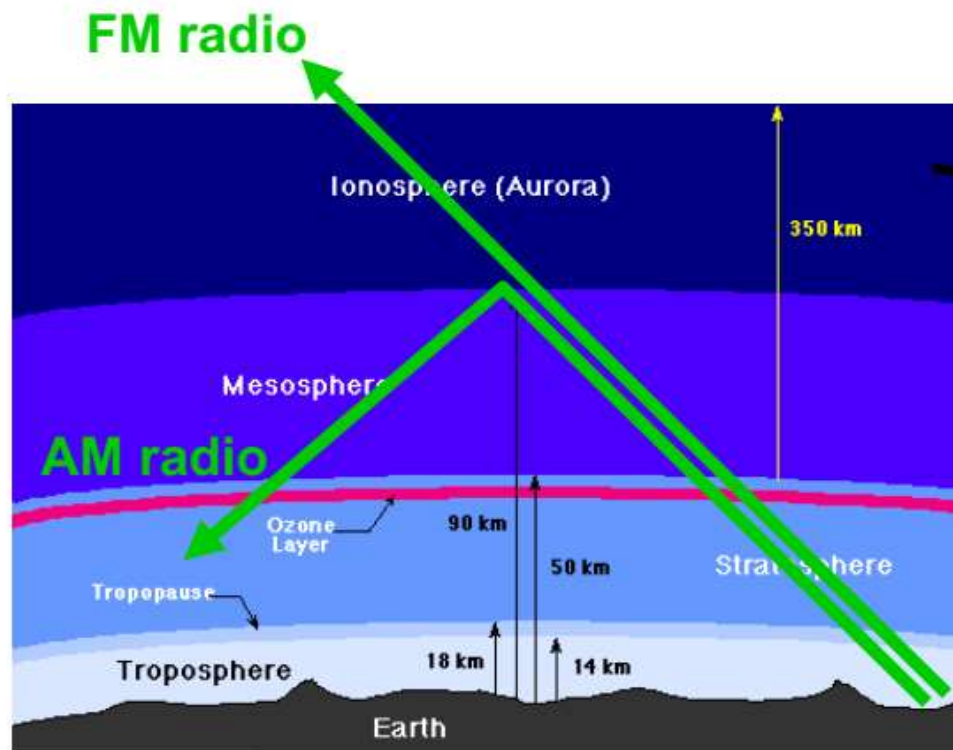
# Ionosfera

---

Na atmosfera  $N \approx 10^{12}/\text{m}^3$

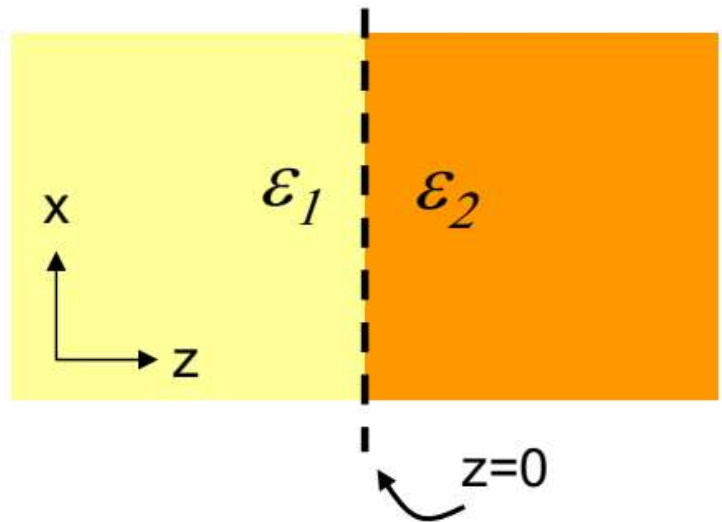
$$\omega_p = \sqrt{\frac{Ne^2}{\epsilon_0 m_e}} = 2\pi \times 9 \text{ MHz}$$

ondas AM são refletidas  
ondas FM são transmitidas



# Ondas presos numa interface

---



Considere uma onda na interface entre dois meios semi-infinitos

Existe uma solução as equações de Maxwell que se propaga ao longo da interface?

Procuramos soluções da forma

$$\vec{E}_1 = (E_{1x}, 0, E_{1z}) e^{-\kappa_1 \omega |z|/c} e^{i(n_1 k_0 x - \omega t)}$$

$$\vec{B}_1 = (0, B_{1y}, 0) e^{-\kappa_1 \omega |z|/c} e^{i(n_1 k_0 x - \omega t)}$$

$$\vec{E}_2 = (E_{2x}, 0, E_{2z}) e^{-\kappa_2 \omega |z|/c} e^{i(n_2 k_0 x - \omega t)}$$

$$\vec{B}_2 = (0, B_{2y}, 0) e^{-\kappa_2 \omega |z|/c} e^{i(n_2 k_0 x - \omega t)}$$

Estes ondas se propagam ao longo da interface e decaem exponencialmente nos dois meios (também não são ondas transversas...)

---

# Ondas na interface

---

Ampere  $\nabla \times \vec{B} = \mu_0 \varepsilon \frac{\partial \vec{E}}{\partial t}$

Para os componentes ao longo do eixo dos xxs

$$-\frac{\kappa_1}{c} \omega B_{1y} = -i\omega\mu_0\varepsilon_1 E_{1x} \quad \frac{\kappa_2}{c} \omega B_{2y} = -i\omega\mu_0\varepsilon_2 E_{2x}$$

Na interface os campos têm ser contínuos

$$E_{1x}(z=0) = E_{2x}(z=0)$$

$$B_{1x}(z=0) = B_{2x}(z=0)$$

Juntos estas condições implicam que

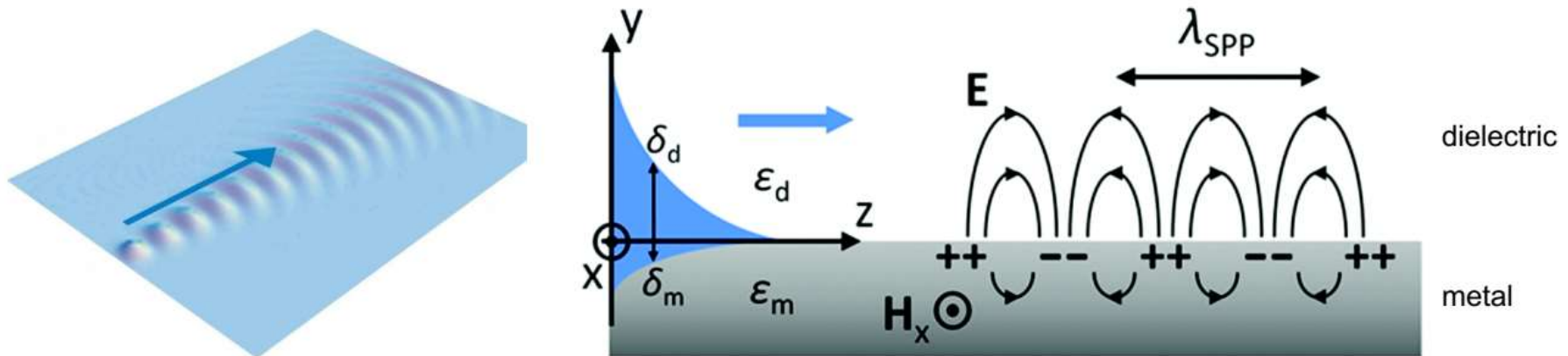
$$\frac{\varepsilon_1}{\kappa_1} + \frac{\varepsilon_2}{\kappa_2} = 0$$

Como  $\kappa$  é sempre positiva uma das constantes dielétricas tem ser negativa – o que acontece num metal quando  $\omega < \omega_p$

---

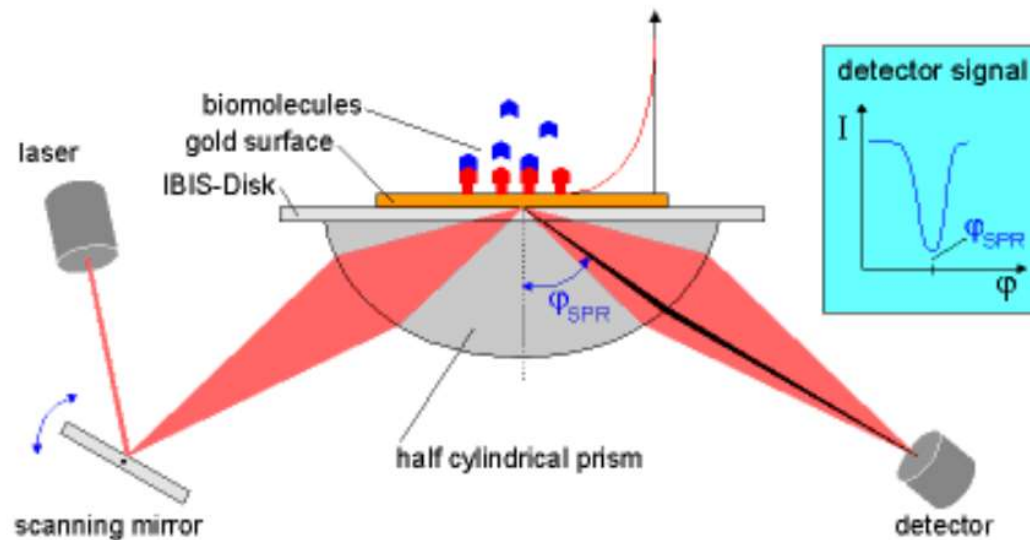
# Ondas plasmáticas da superfície (“Surface plasmon polaritons”)

Encontramos uma solução que é uma onda que se propaga na interface entre um metal e um meio dielétrico (por exemplo ar)

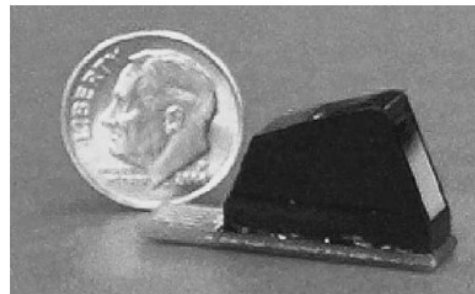
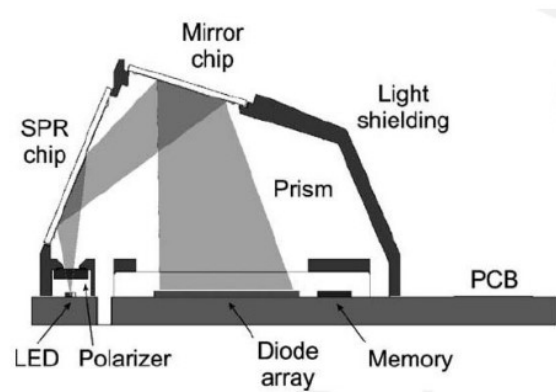


Os elétrons livres no metal se oscilam em sincronia com o campo EM que se propaga na superfície.

# Sensores plasmáticos



As ondas plasmáticas são muito sensíveis as moléculas que possa estar na superfície

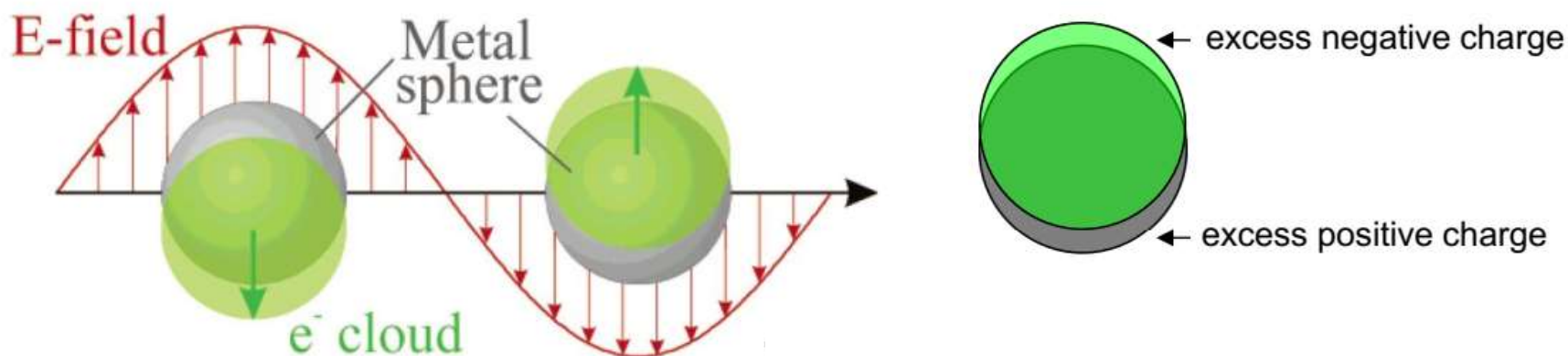


Dispositivo comercial

# Ondas plasmáticas nos pontos quânticos

---

Em vez de uma interface semi-infinita do metal é possível também excitar ondas plasmáticas em pequenas esferas metálicas. Só neste caso as ondas não se propagam – a carga apenas se oscila com o campo elétrico.



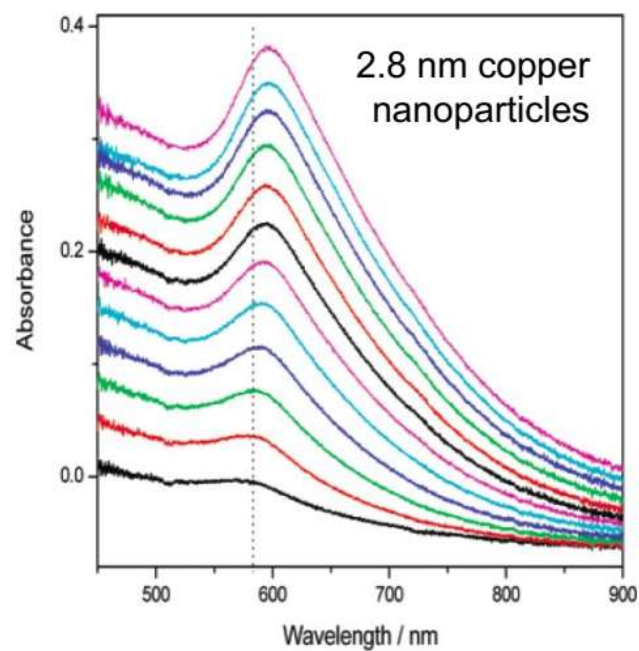
Devida a separação da carga existe uma “força de restauração” nos eletrões.  
Voltamos ter uma ressonância - desta vez plasmática

---

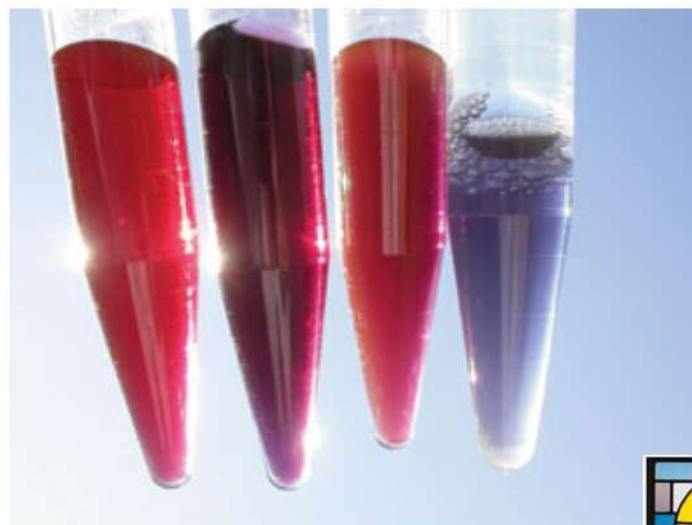
# Ondas plasmáticas nos pontos quânticos

---

A luz interage com os pontos quântico mais fortemente na frequência da ressonância das ondas plasmáticas



Pedersen *et al.*, J Phys Chem C (2007)



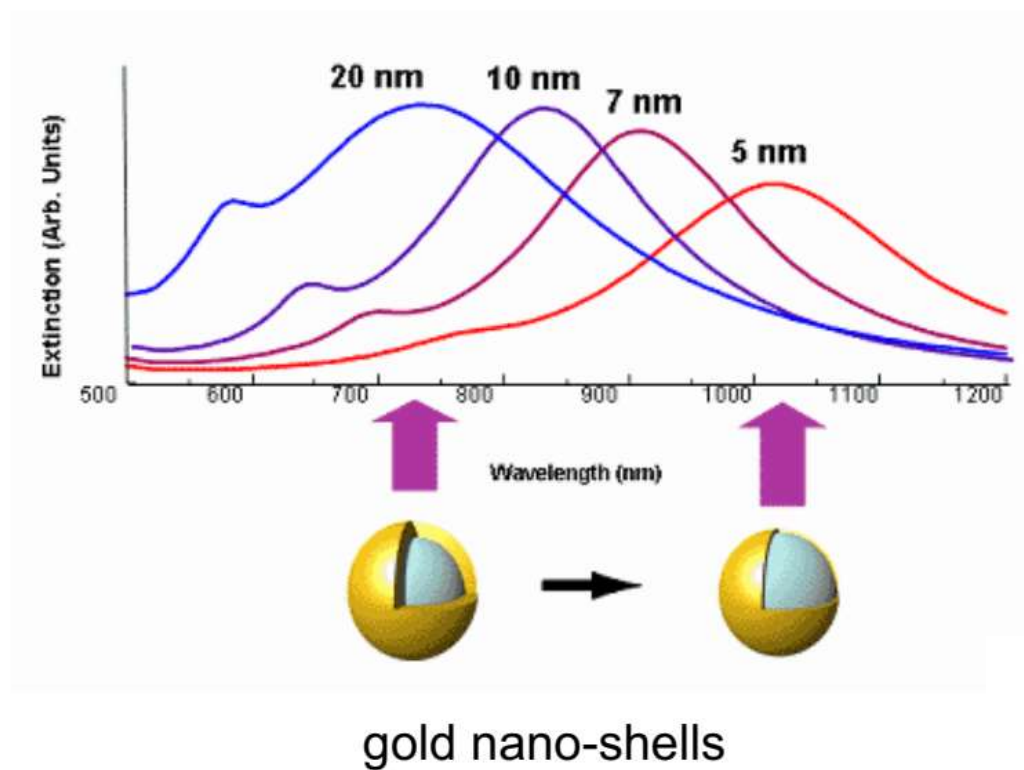
Nanopartículas de ouro são responsáveis pela cor vermelho nos vidrais



# Engenharia das cores

---

Alterar a espessura duma camada de ouro faz que os cores variam



Halas group, Rice Univ.

---